



Fig. 1

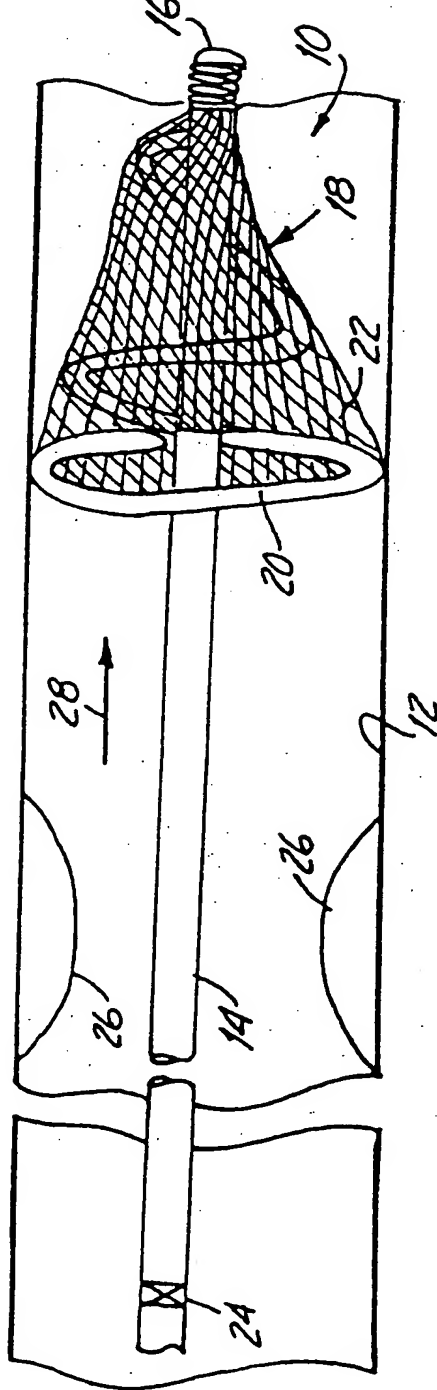


Fig. 2

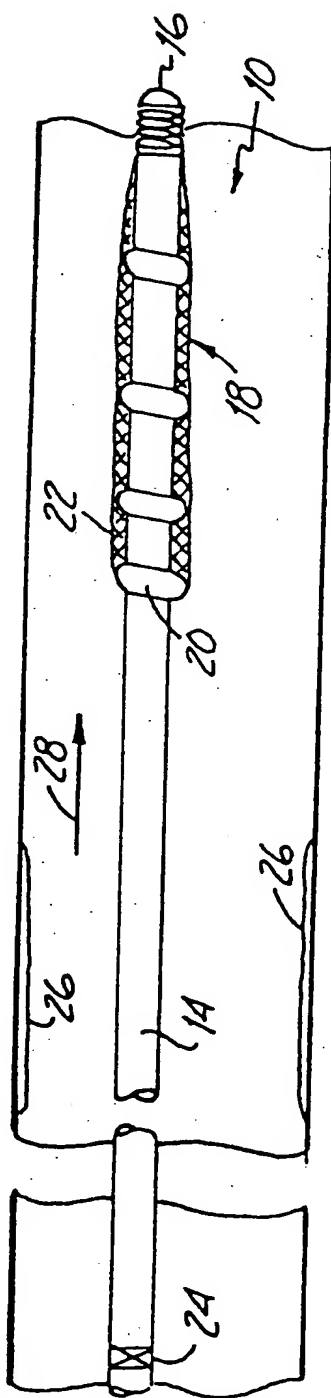


Fig. 4

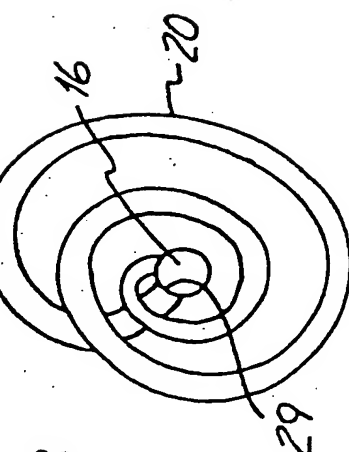
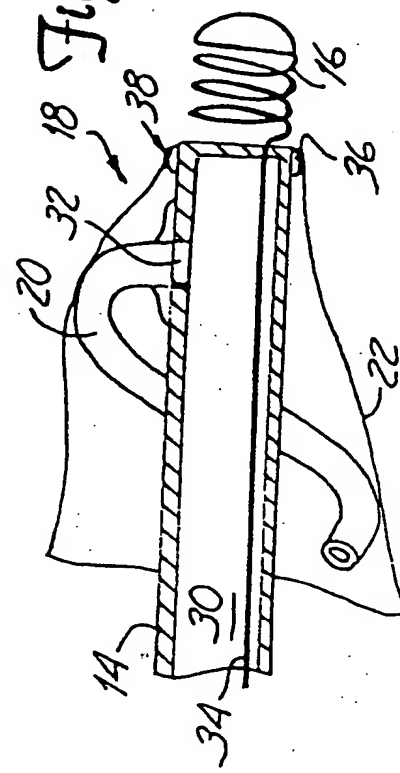
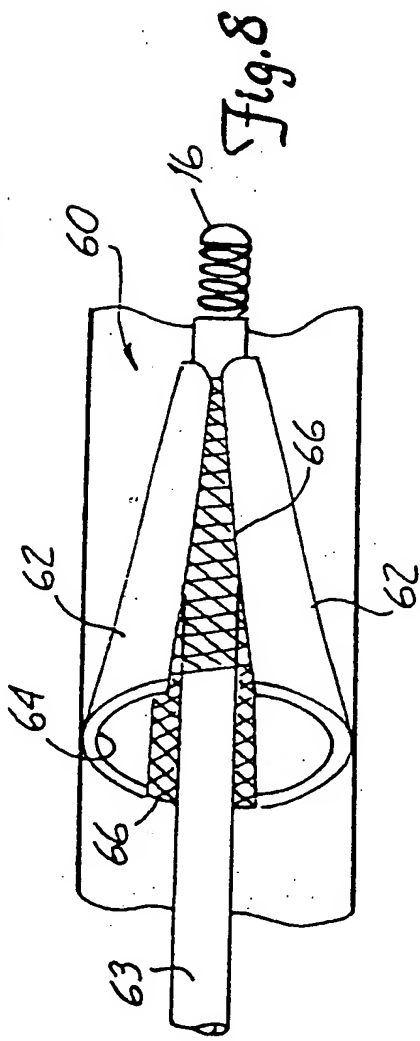
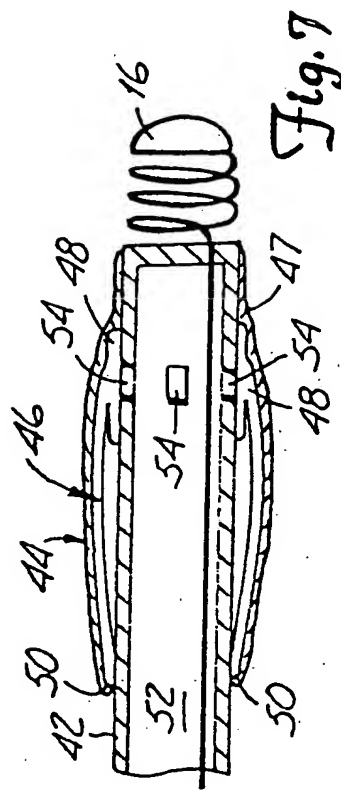
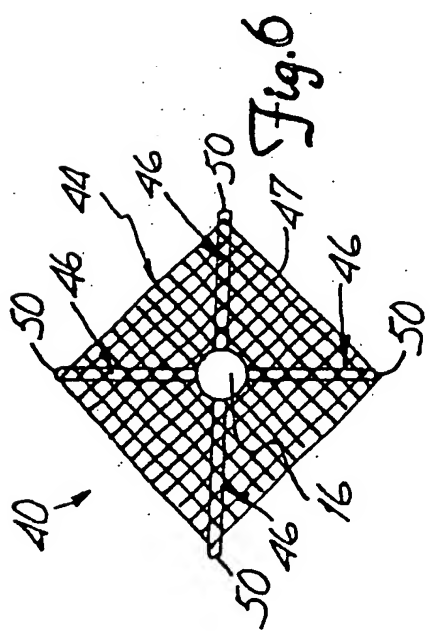
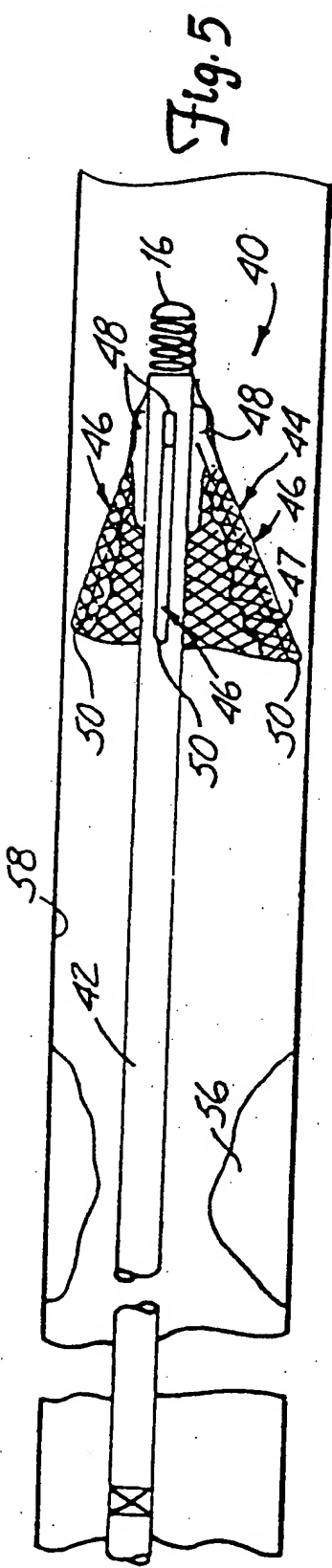


Fig. 3



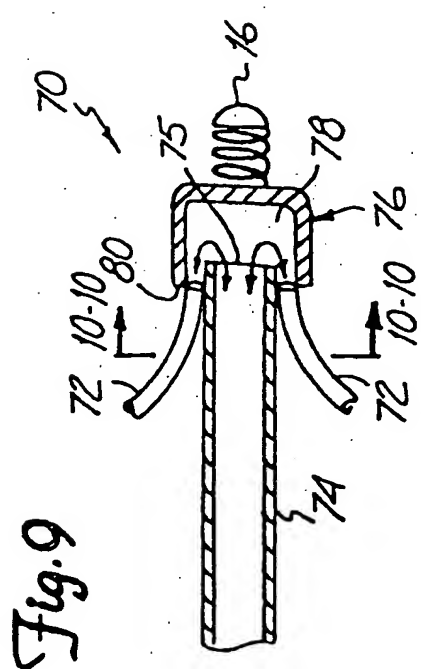
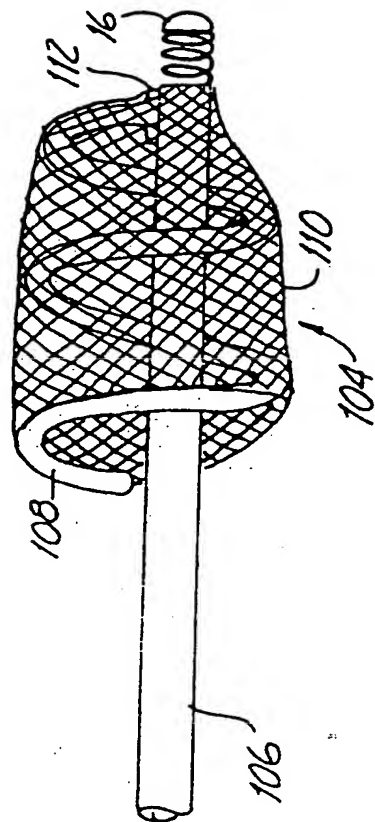
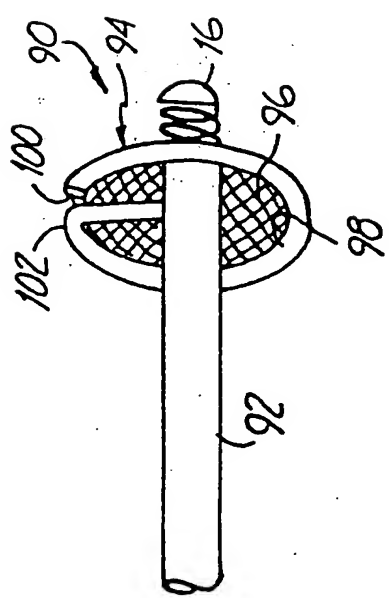
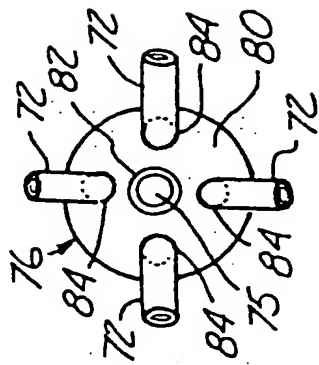
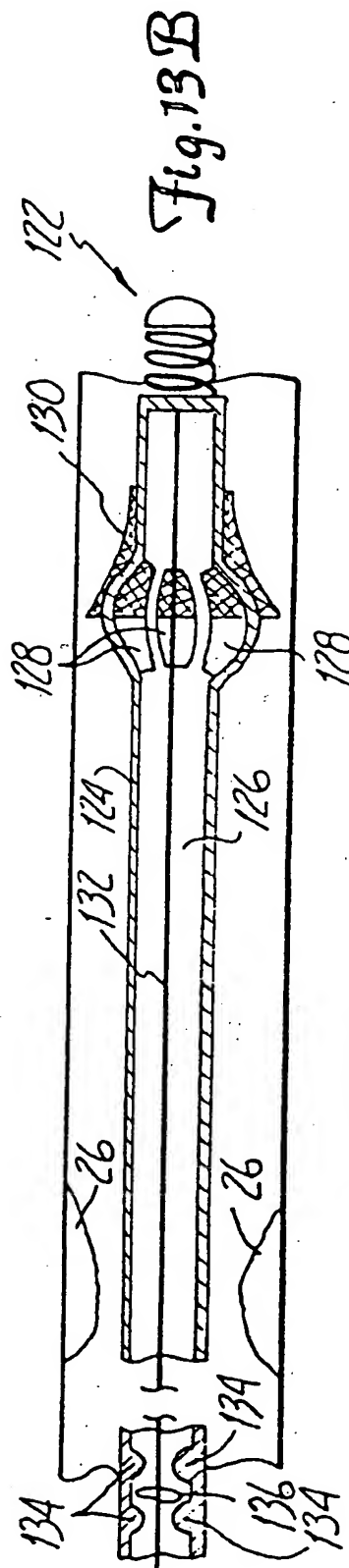
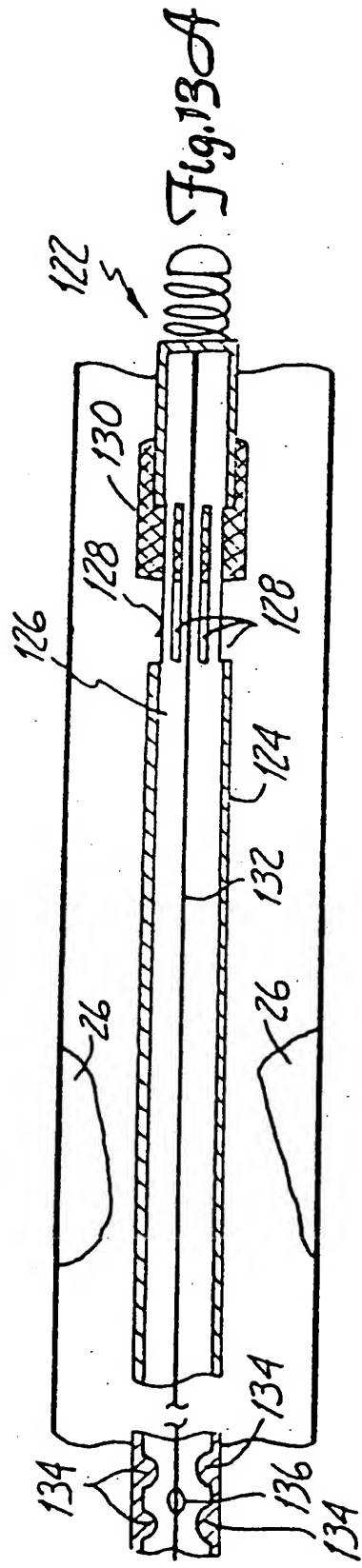
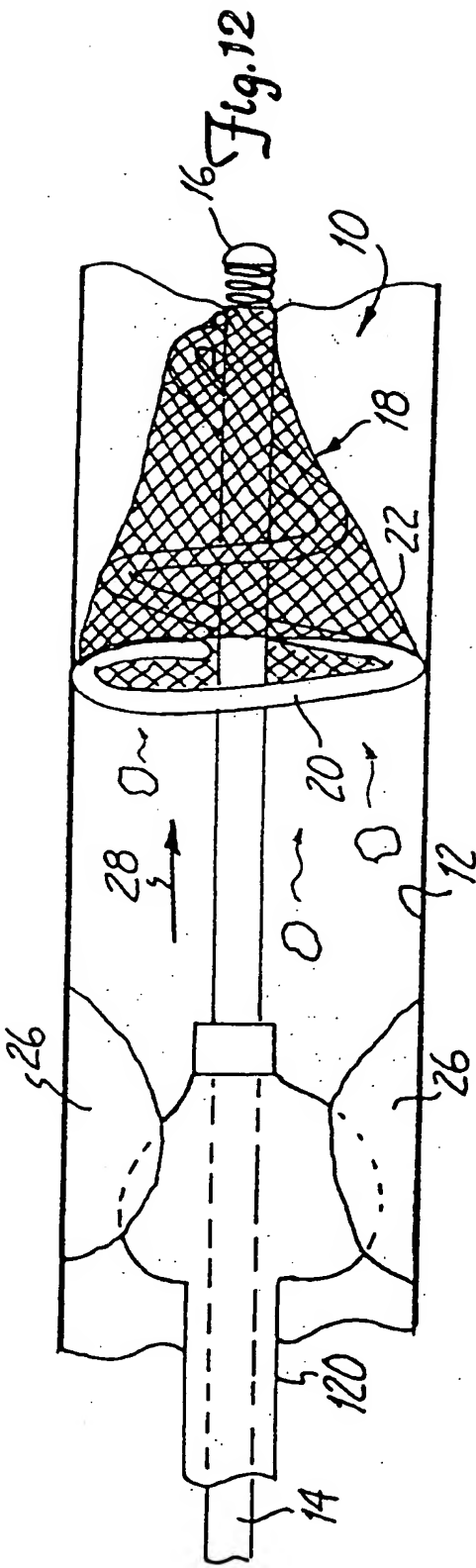
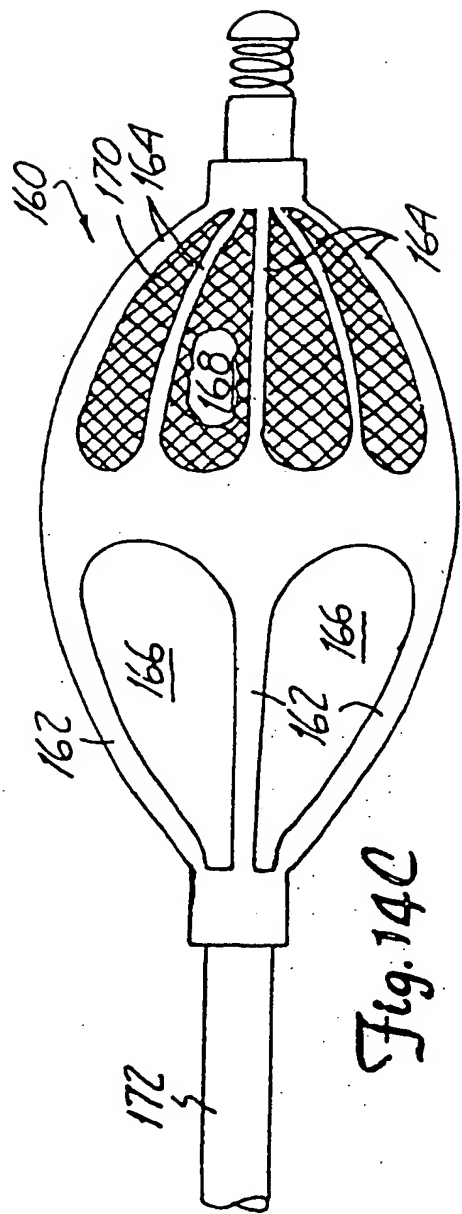
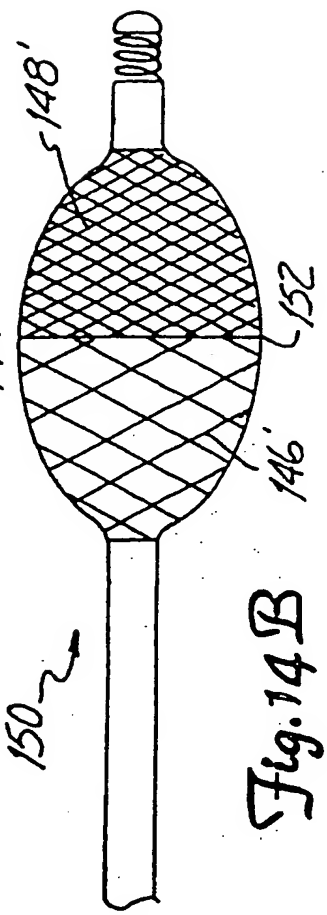
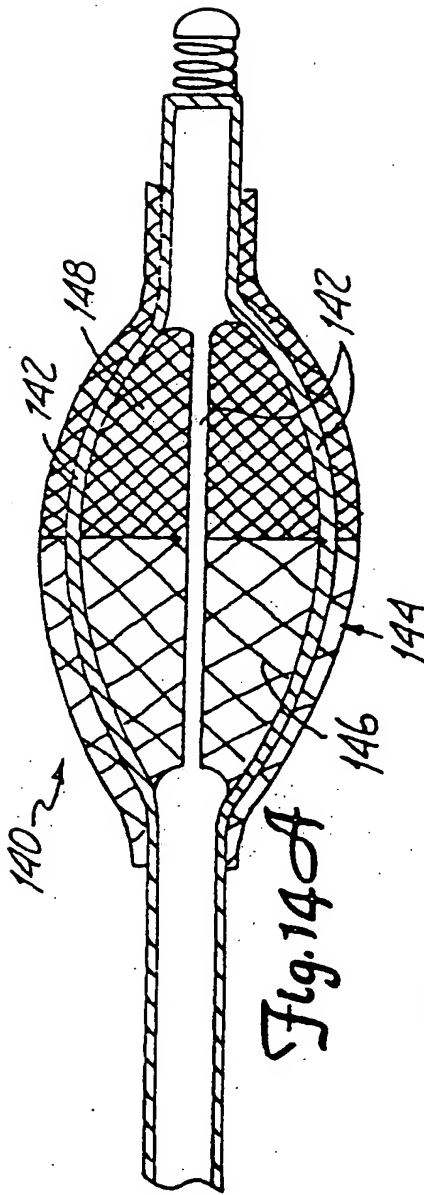


Fig. 10







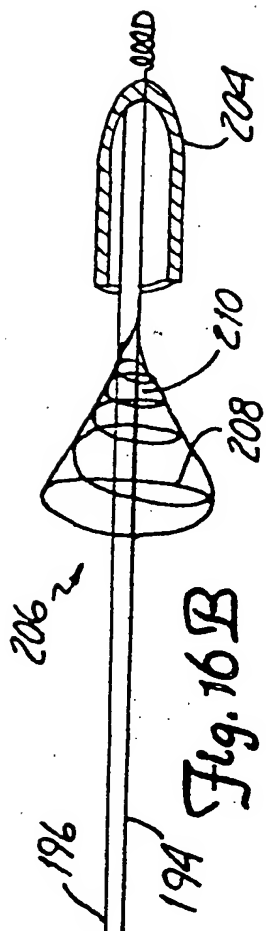
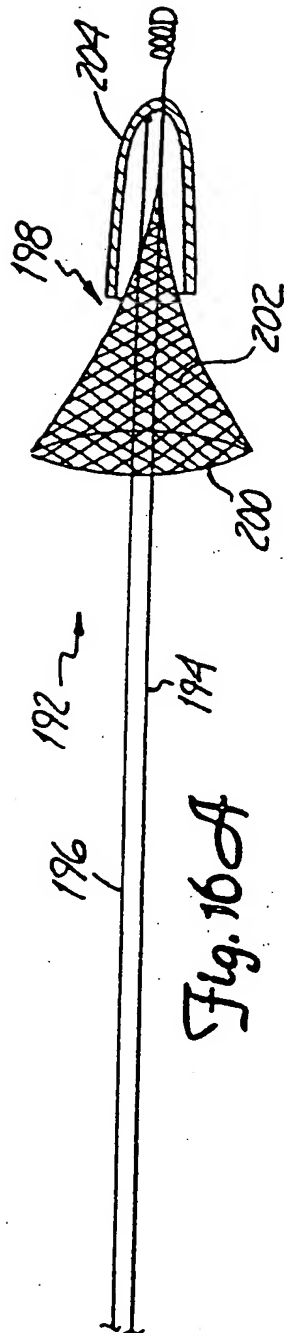
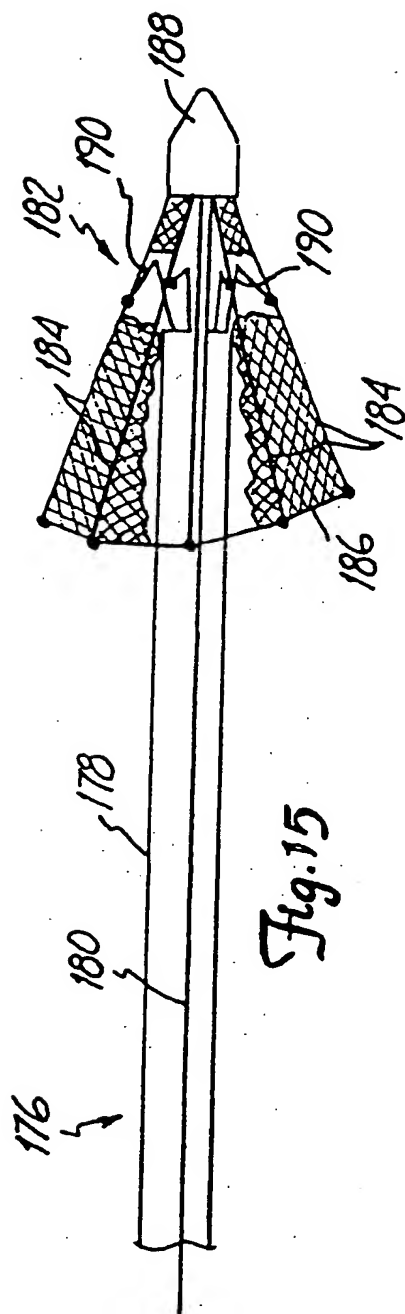


Fig. 17A

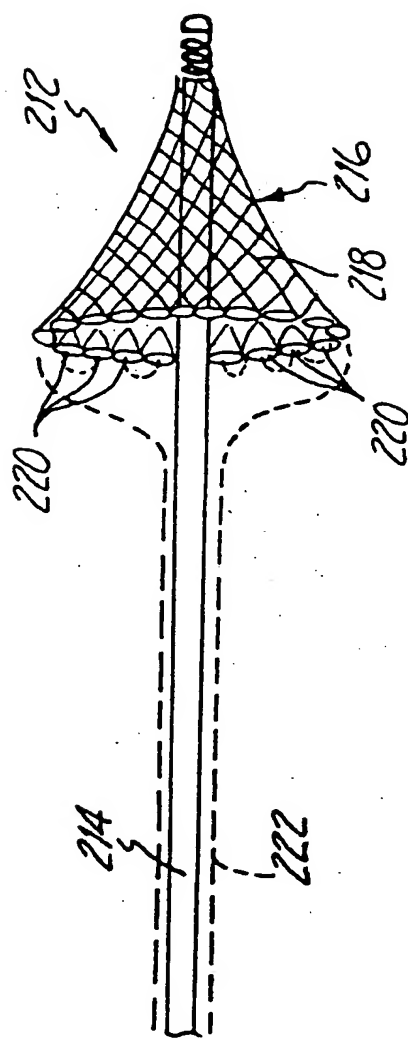
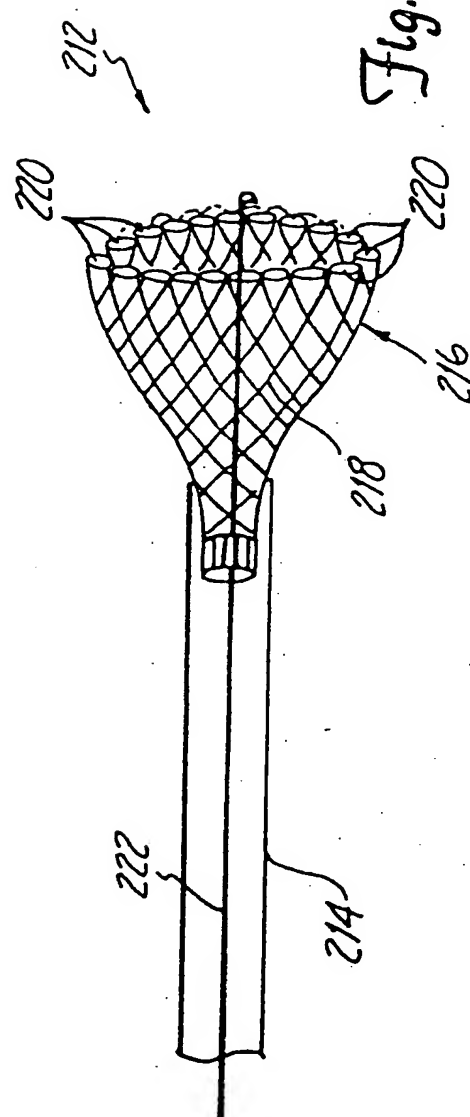


Fig. 17B



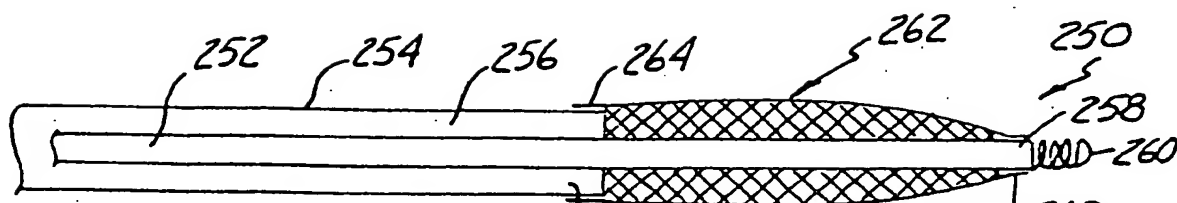


Fig. 18A

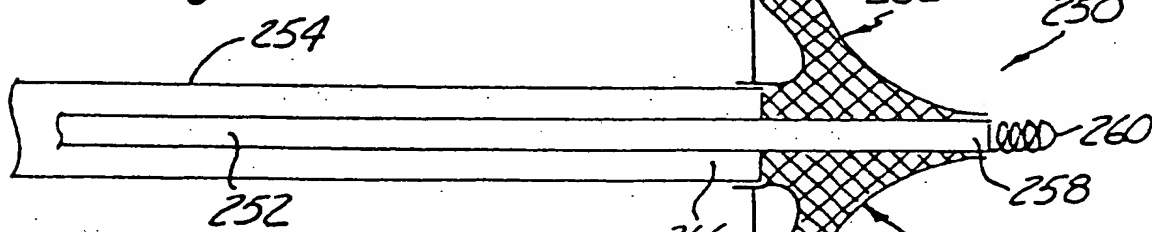


Fig. 18B

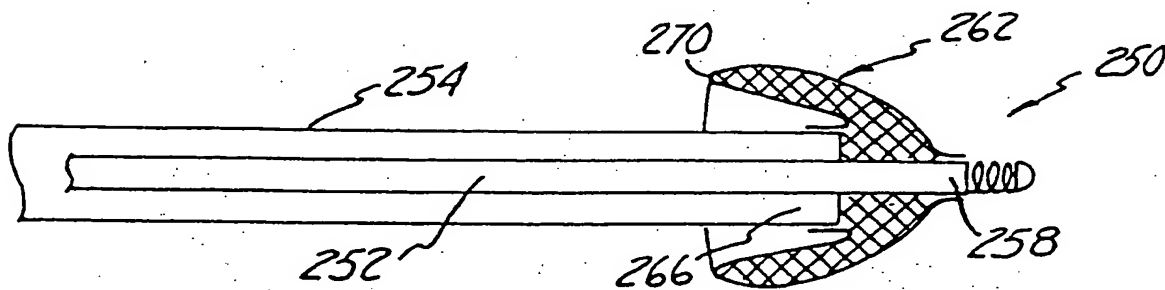


Fig. 18C

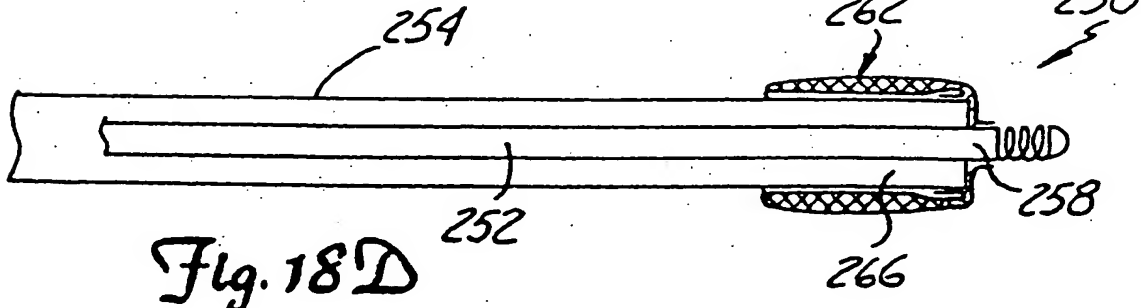


Fig. 18D

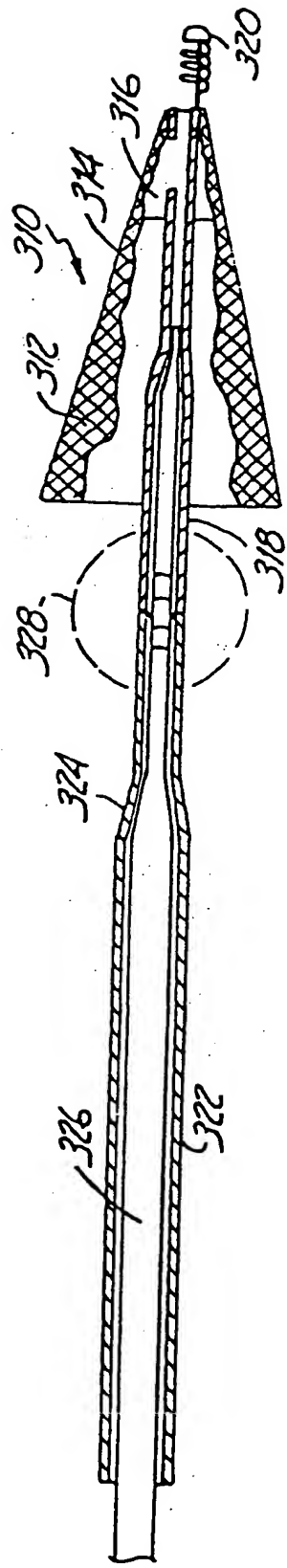
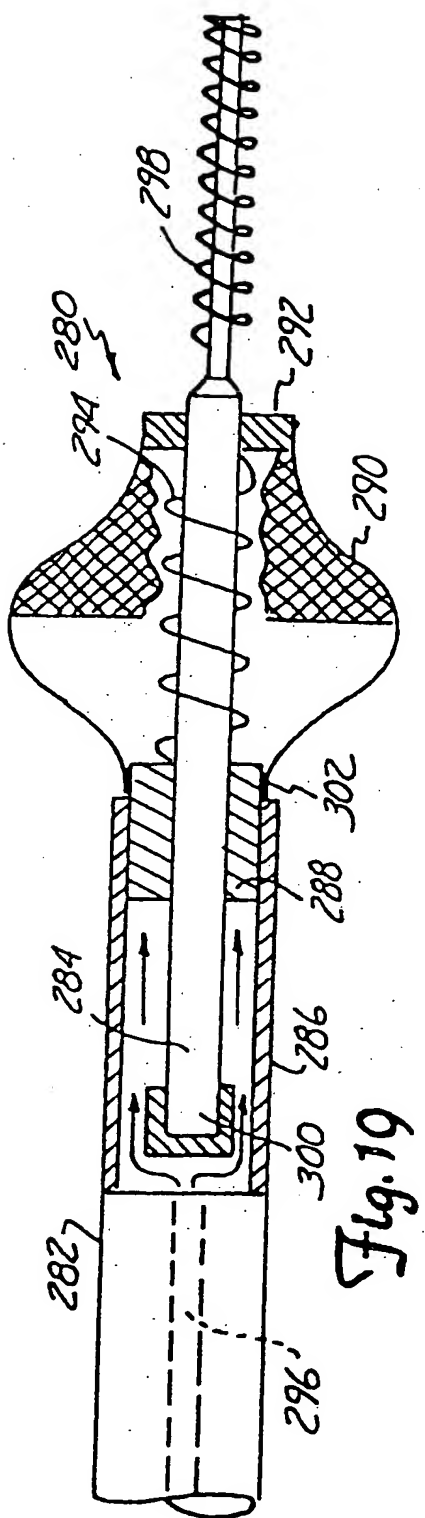


Fig. 20A

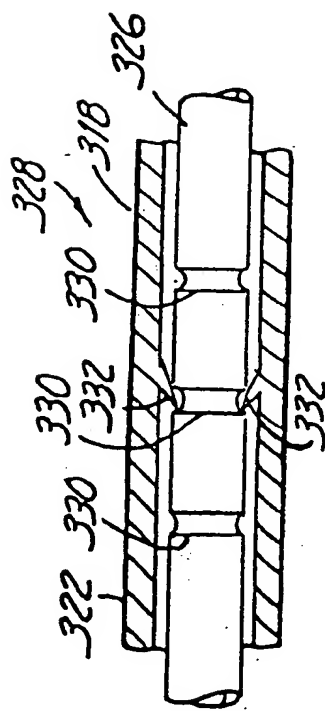
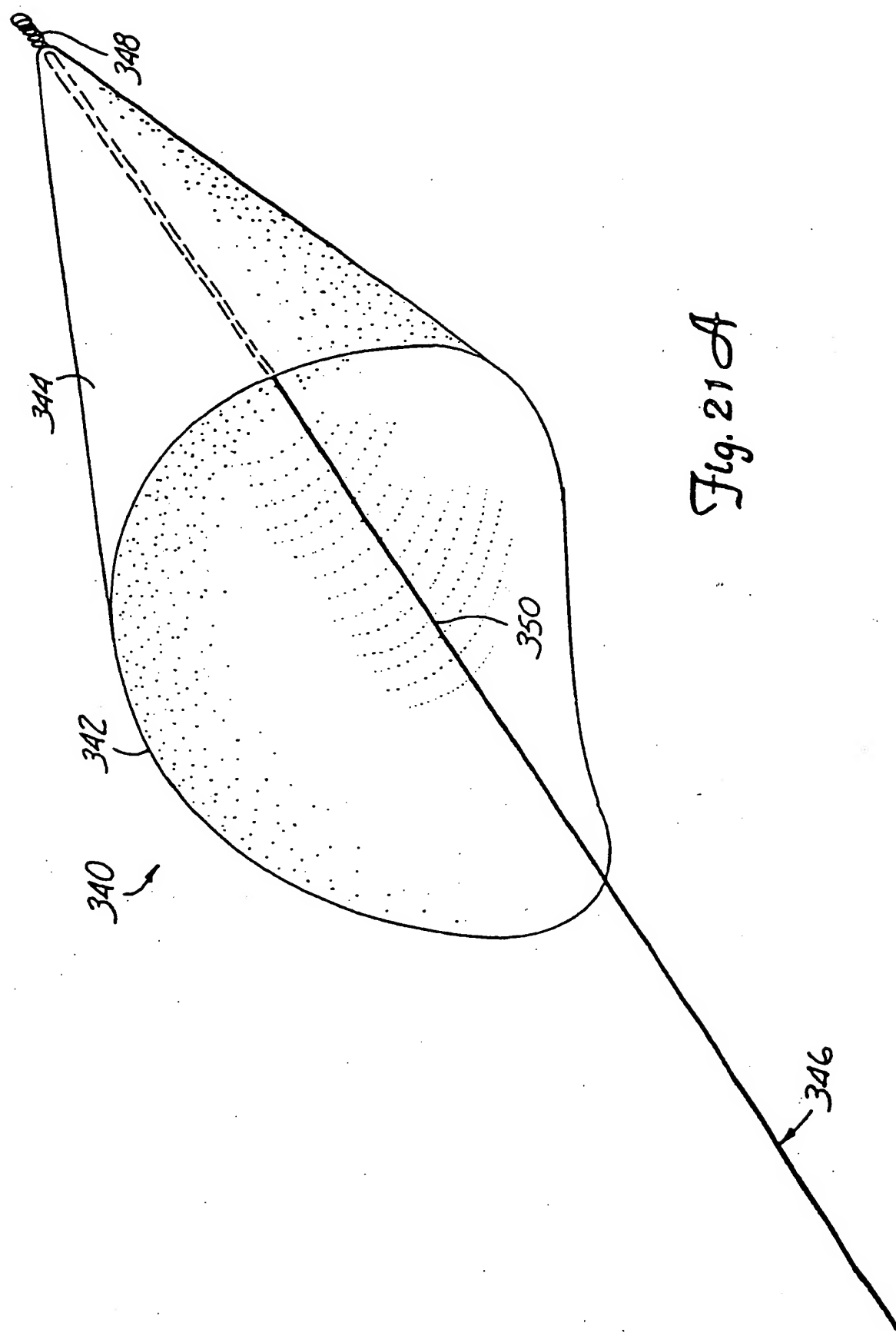
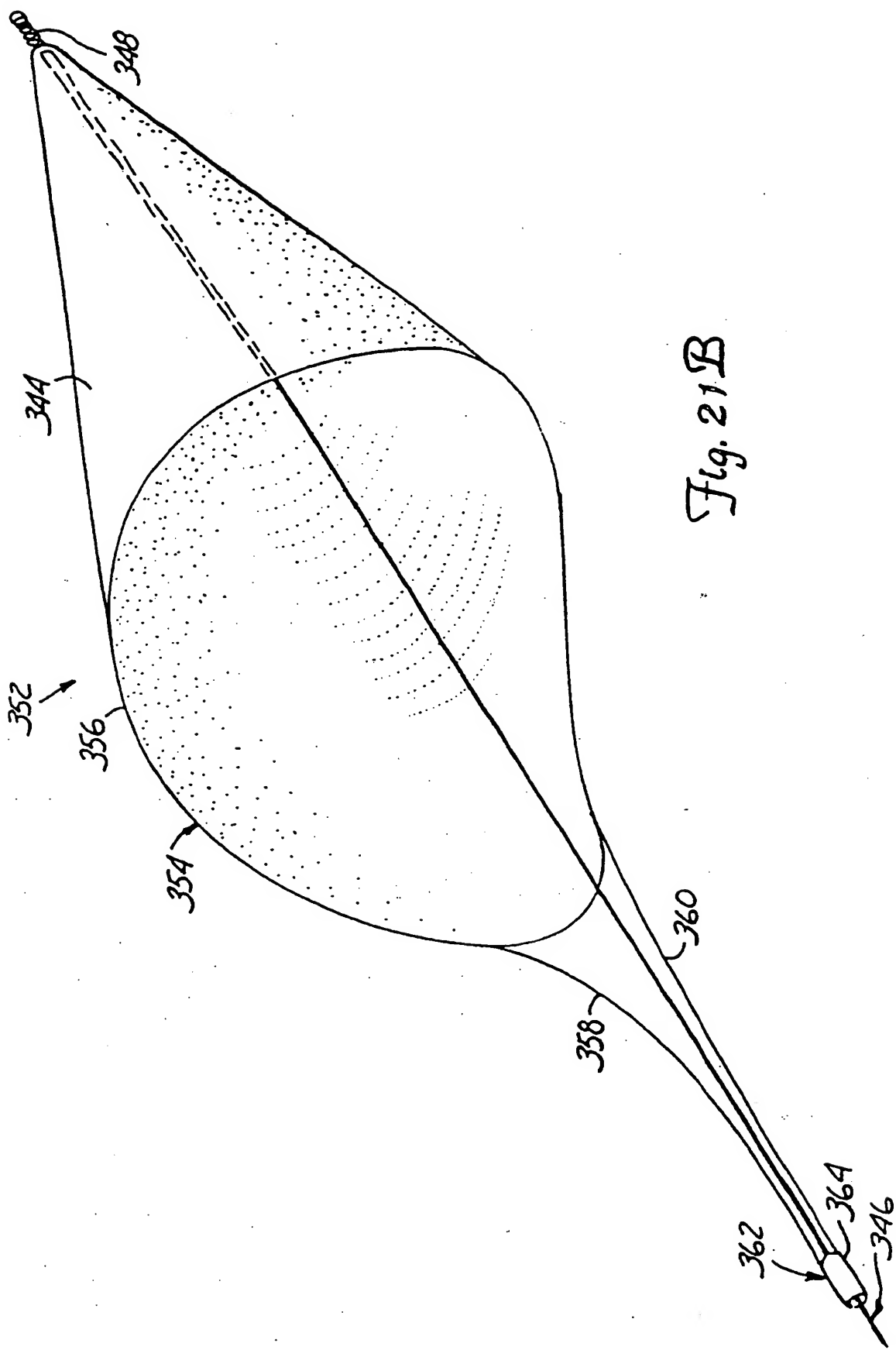
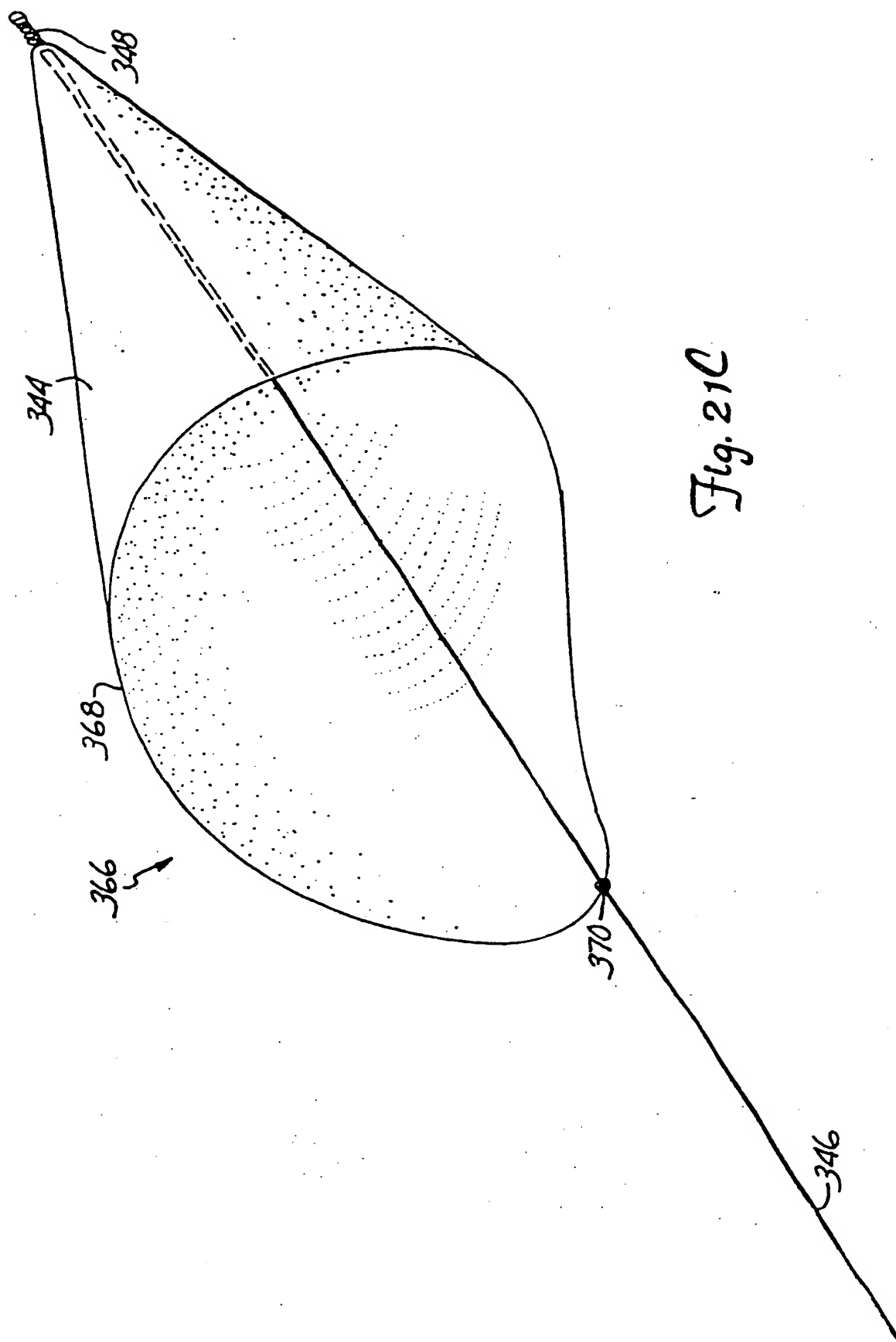
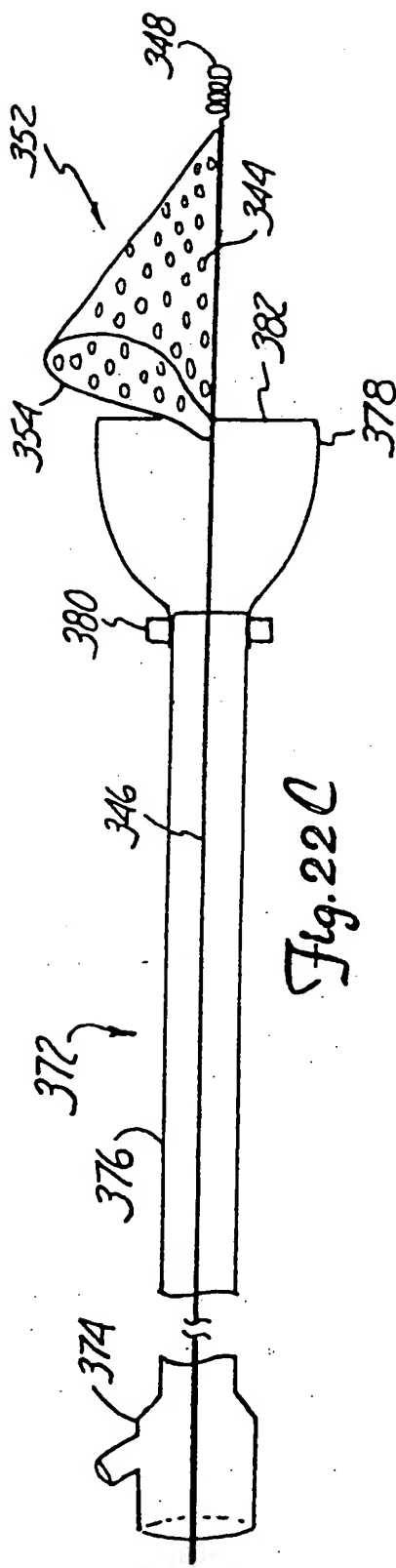
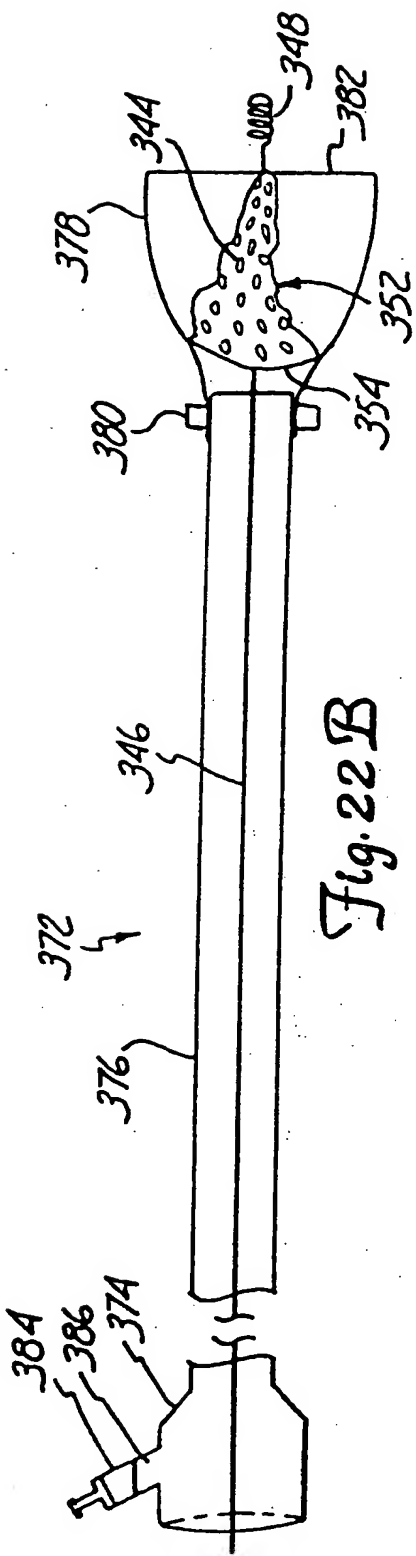
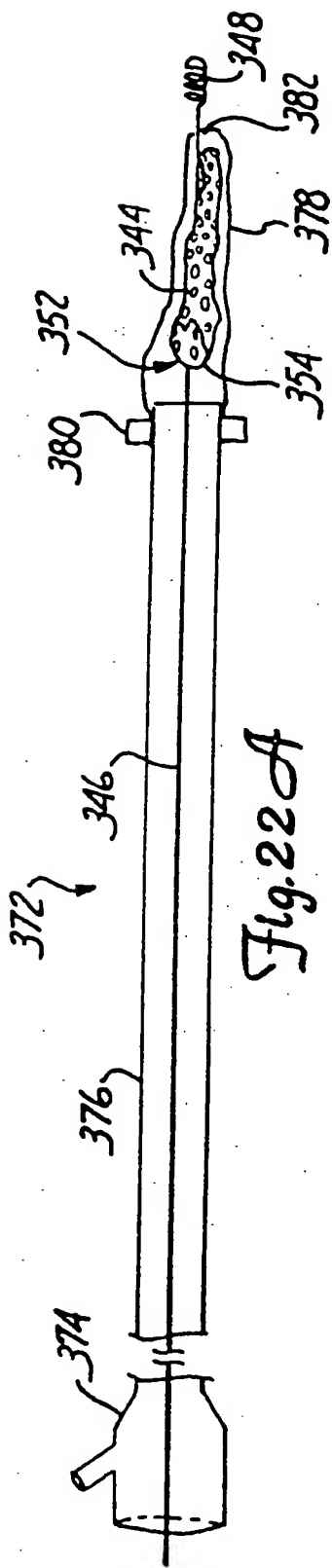


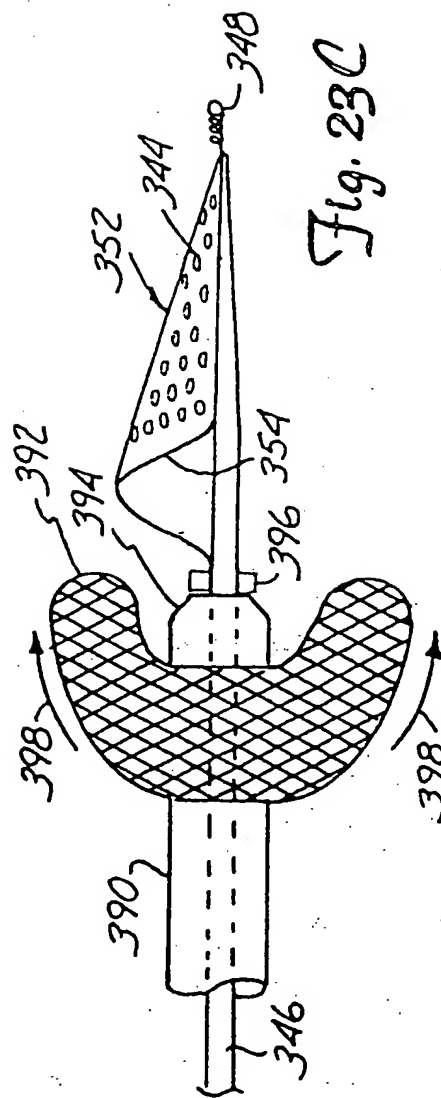
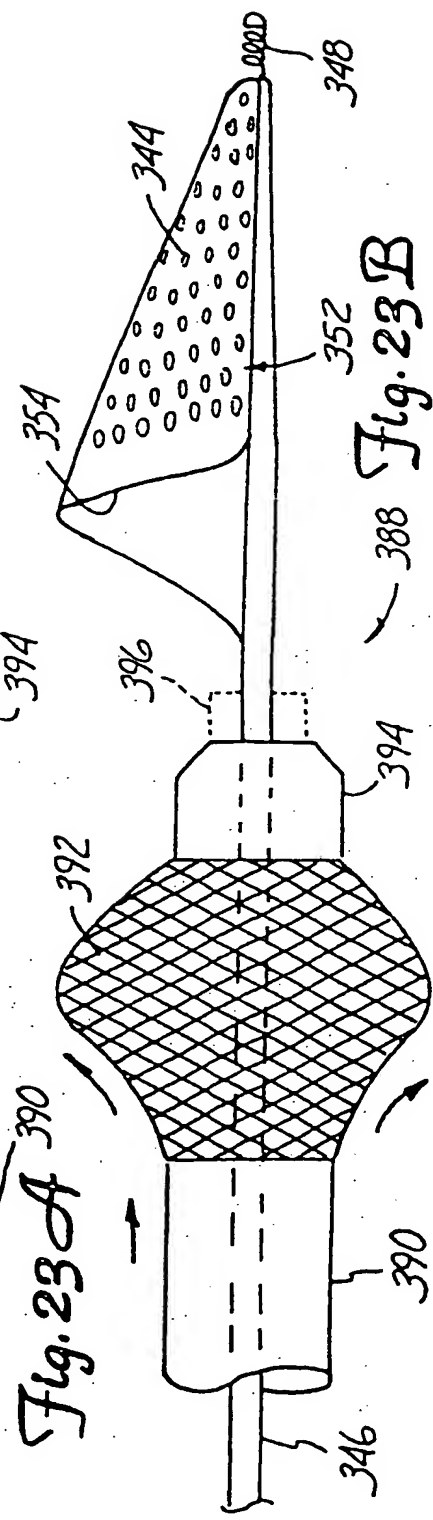
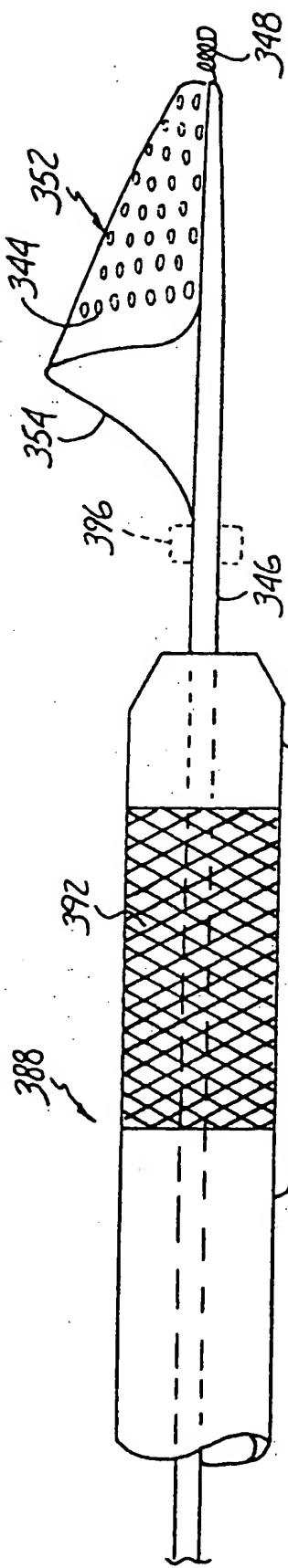
Fig. 20B











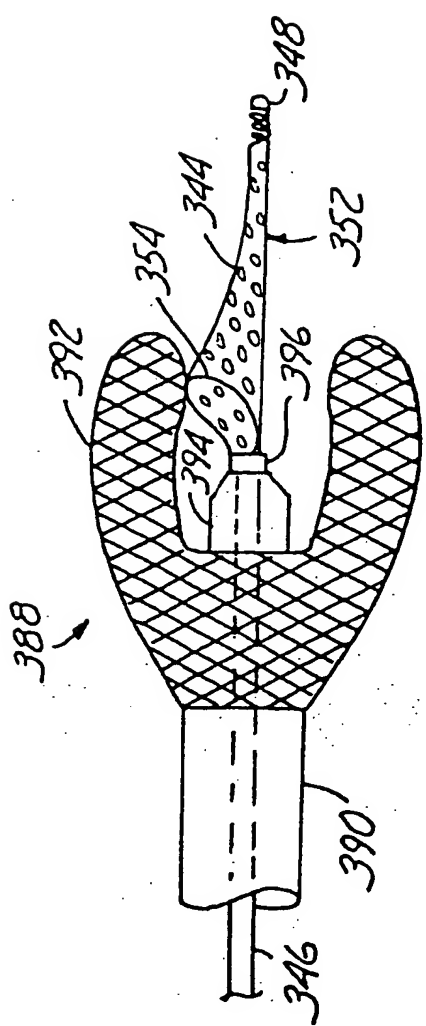


Fig. 23 D

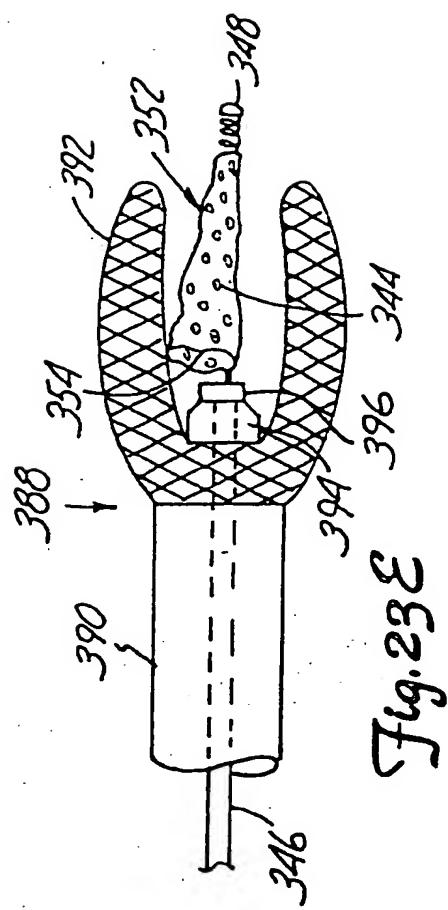
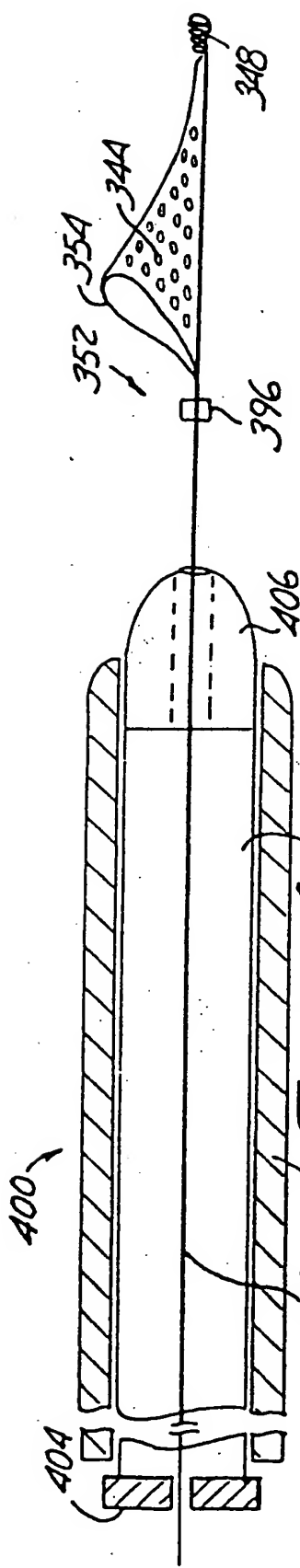
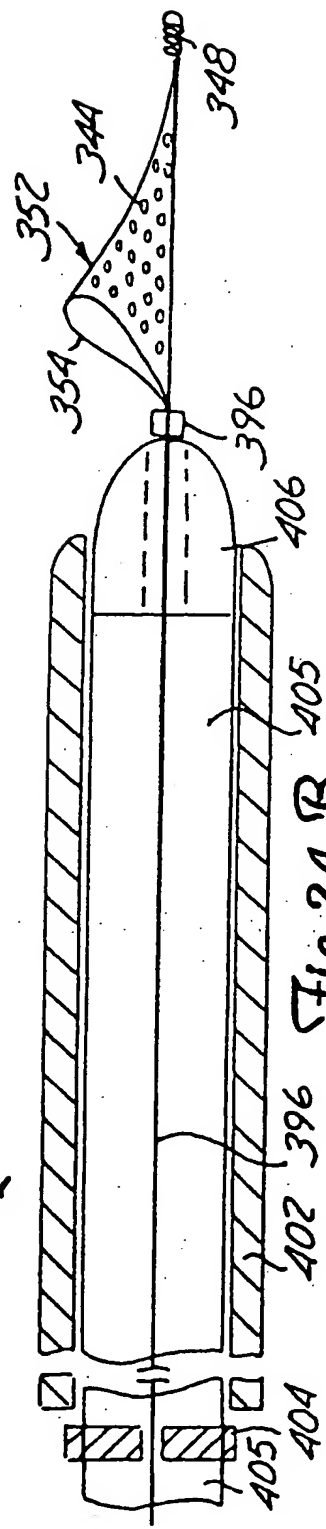


Fig. 23 E



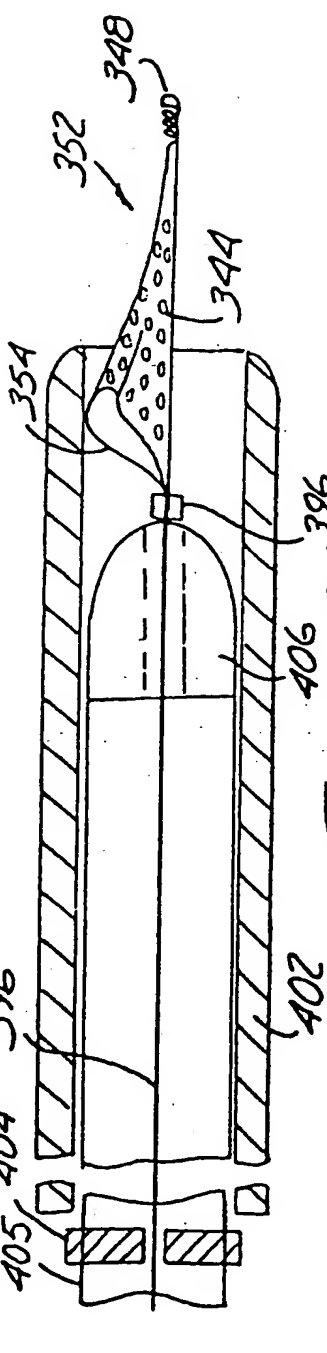
346 402 Fig. 24 A 405

400



402 396 Fig. 24 B 405 406

404 396 405 406



402 396 Fig. 24 C

400